

# ЗАТУХАНИЕ ФОНОН-ПЛАЗМОННЫХ МОД

**Л. А. Фальковский\***

Институт теоретической физики им. Л. Д. Ландау Российской академии наук  
117337, Москва, Россия

Поступила в редакцию 15 октября 2002 г.

Рассчитаны сдвиг частоты и затухание фонон-плазмонных мод в зависимости от концентрации носителей заряда. Вычисления проделаны в длинноволновом приближении с учетом электронного затухания и собственного времени жизни оптических фононов.

PACS: 63.20.Kr, 71.38.-k, 72.30.+q

## 1. ВВЕДЕНИЕ

В последнее время вновь проявился интерес к фононным перенормировкам в металлах и легированных полупроводниках вследствие взаимодействия с носителями заряда. Этот вопрос имеет давнюю историю. С помощью методов теории поля он был поставлен в пионерской работе Мигдала [1], где было показано, что перенормировка является весьма существенной. Оказалось, что скорость звука, например, меняется в меру безразмерной константы  $\lambda$  электрон-фононного взаимодействия, которая имеет порядок единицы. После этого появилось много работ о фононной неустойчивости, вызванной взаимодействием с электронами, и о так называемой мягкой фононной mode. Все полученные результаты противоречат концепции Борна–Оппенгеймера [2], согласно которой легкие электроны адиабатически следят за медленными колебаниями кристаллической решетки и, таким образом, перенормировка должна содержать малый параметр неадиабатичности  $\sqrt{m/M}$ , где  $m$  и  $M$  — массы соответственно электрона и атома решетки. Вопрос был прояснен в работе Бровмана и Кагана [3], показавших, что причина противоречия лежит в ограниченности методов, использующих гамильтониан Фрёлиха, и правильные результаты должны соответствовать концепции адиабатичности.

Несмотря на это, вопрос о перенормировках продолжает обсуждаться и в последнее время. Недавно Александров и Шриффер вновь получили [4] с помо-

щью диаграммной техники огромную дисперсию оптических фононов, определяемую скоростью Ферми (см. также [5]). Райзер [6] несколько исправил положение, рассмотрев экранировку дальнодействующего электрического поля, возникающего при продольных оптических колебаниях. Большая дисперсия исчезла, но константа электрон-фононного взаимодействия  $\lambda$  вошла в результат нефизическим образом. Заметим, что, по-видимому, впервые влияние кулоновской экранировки на частоту оптических фононов рассматривалось в работе Гуревича, Ларкина и Фирсова [7].

В работах [4, 6, 7] не учитывались столкновения электронов друг с другом, дефектами и фононами (частота столкновений  $\gamma$ ), а также полностью игнорировалось затухание оптических фононов,  $\Gamma^{nat}$ , обусловленное ангармонизмом, а именно, процессами распада фононов. Эти эффекты определяют проводимость и диэлектрическую проницаемость, т. е. электродинамику системы. Частоты столкновений в оптической области,  $\gamma, \Gamma^{nat} \sim \sqrt{m/M} \omega_0$ , малы по сравнению с характерными фононными частотами  $\omega_0$  и описывают ширину фононных и плазмонных резонансов. Экспериментальное исследование ширины резонансов в рамановском и рентгеновском рассеянии является удобным способом изучения качества, а также изотопного и полиморфного состава металлических и полупроводниковых образцов.

В работе [8] с помощью кинетического уравнения для электронов и уравнения движения для фононов мы вычислили сдвиг частоты и затухание оптических фононов, принимая во внимание все отмеченные особенности (электрон-фононное взаимо-

\*E-mail: falk@itp.ac.ru

действие явно, кулоновскую экранировку, затухание электронов и собственную ширину фононов) и ограничиваясь случаем типичного металла, когда энергия Ферми и плазменная частота электронов,  $\omega_{pe}$ , велики по сравнению с частотами поперечных и продольных фононов,  $\omega_{TO}, \omega_{LO}$ . Оказалось, что различные механизмы электрон-фононного взаимодействия (деформационный или поляризационный) не меняют по сути качественную картину, возникающую при учете лишь кулоновской экранировки и частот столкновений  $\gamma$  и  $\Gamma^{nat}$ .

Отметим, что в квазиклассическом приближении, когда переданный импульс (импульс фонона) является малым по сравнению с характерным импульсом электронов, метод кинетического уравнения полностью эквивалентен диаграммной технике и соответствующие уравнения могут быть сформулированы как уравнения для собственных энергий электронов и фононов. Необходимо лишь правильно учитывать кулоновскую экранировку и адиабатичность электрон-фононной системы.

В эксперименте, по-видимому, более удобно исследовать влияние электрон-фононного взаимодействия, меняя электронную концентрацию, т. е. на додированных полупроводниках (см., например, недавнюю работу [9], выполненную на высокотемпературном сверхпроводнике  $Nd_{1.86}Ce_{0.14}CuO_{4+\delta}$  с использованием рентгеновского неупругого рассеяния). Поэтому в данной работе мы распространяли результаты работы [8] на случай произвольного соотношения между плазменной частотой электронов и частотой фононов, когда возможны связанные фонон-плазменные колебания. Мы максимально упростили ситуацию, пренебрегая слагаемыми с  $\lambda$  (прямое электрон-фононное взаимодействие) и сохраняя лишь влияние столкновений,  $\gamma$  и  $\Gamma^{nat}$ , а, кроме того, предполагая, что система электронов является вырожденной.

## 2. ПРЕДЕЛЬНЫЕ ВЫРАЖЕНИЯ ДЛЯ ДИЭЛЕКТРИЧЕСКОЙ ПРОНИЦАЕМОСТИ

Для наших целей достаточно проанализировать продольную компоненту диэлектрической проницаемости электрон-фононной системы:

$$\varepsilon(k, \omega) = \varepsilon_\infty \frac{\omega^2 - \omega_{LO}^2 + i\Gamma^{nat}}{\omega^2 - \omega_{TO}^2 + i\Gamma^{nat}} - \frac{4\pi e^2 \nu_0 \langle v_z / \Delta_p(k) \rangle}{k(1 - i\langle \gamma / \Delta_p(k) \rangle)}. \quad (1)$$

Здесь первое слагаемое — ионный вклад — записано на малых волновых векторах (по сравнению с обратным периодом решетки) в бездисперсионном виде с учетом того, что диэлектрическая проницаемость должна иметь полюс и нуль соответственно на частоте поперечных и продольных фононов. Высокочастотная проницаемость обозначена  $\varepsilon_\infty$ . Тот факт, что у оптических фононов всегда имеется малое затухание,  $\Gamma^{nat} \sim \sqrt{m/M} \omega_O$ , определяемое ангармонизмами и не имеющее особенностей (как функция  $\omega$ ), мы учли, добавив  $i\Gamma^{nat}/2$  к  $\omega$ .

Электронный вклад в диэлектрическую проницаемость (второе слагаемое в (1)) для волновых векторов, меньших фермиевского импульса, получен [8] с помощью кинетического уравнения в приближении частоты столкновений  $\gamma$ ; здесь введено обозначение

$$\Delta_p(k) = \omega - \mathbf{k} \cdot \mathbf{v} + i\gamma.$$

Угловые скобки означают усреднение по ферми-поверхности с плотностью состояний  $\nu_0$ :

$$\langle \dots \rangle = \frac{1}{\nu_0} \int (\dots) \frac{2dS_F}{v(2\pi)^3}.$$

Для изотропного случая  $\nu_0 = m^* p_F / \pi^2$  — плотность электронных состояний на ферми-поверхности,  $m^*$  — эффективная масса электронов.

Перепишем электронный вклад в виде

$$\varepsilon_e(k, \omega) = \varepsilon_\infty \frac{k_0^2}{k^2} \left[ 1 - \frac{\langle \omega / \Delta_p(k) \rangle}{1 - i\langle \gamma / \Delta_p(k) \rangle} \right], \quad (2)$$

где параметр экранировки  $k_0^2 = 4\pi e^2 \nu_0 / \varepsilon_\infty$ .

Интеграл по ферми-поверхности берется в случае изотропного электронного спектра:

$$\left\langle \frac{1}{\Delta_p(k)} \right\rangle = \frac{1}{2kv_F} \ln \frac{\omega + i\gamma + kv_F}{\omega + i\gamma - kv_F}.$$

Запишем это выражение, явно разделяя вещественную и мнимую части:

$$\begin{aligned} \left\langle \frac{1}{\Delta_p(k)} \right\rangle &= \frac{1}{2kv_F} \left[ \frac{1}{2} \ln \frac{(\omega + kv_F)^2 + \gamma^2}{(\omega - kv_F)^2 + \gamma^2} + \right. \\ &\quad \left. + i \operatorname{arctg} \frac{\omega - kv_F}{\gamma} - i \operatorname{arctg} \frac{\omega + kv_F}{\gamma} \right]. \end{aligned} \quad (3)$$

Мнимая часть здесь представляет затухание Ландау, вызванное рождением электронных возбуждений. Оно существенно при  $kv_F > |\omega + i\gamma|$ :

$$\varepsilon_e(k, \omega) = \varepsilon_\infty \left( \frac{k_0}{k} \right)^2 \left( 1 + i \frac{\pi\omega}{2kv_F} \right), \quad (4)$$

$kv_F \gg |\omega + i\gamma|$ .

В области  $\gamma < \omega - kv_F \ll kv_F$  имеем

$$\varepsilon_e(k, \omega) = \varepsilon_\infty \frac{k_0^2}{k^2} \times \\ \times \left\{ 1 - \frac{\omega}{2kv_F} \left[ \frac{1}{2} \ln \frac{4k^2 v_F^2}{(\omega - kv_F)^2 + \gamma^2} - i \frac{\gamma}{\omega - kv_F} \right] \right\}. \quad (5)$$

Наконец, при малых  $kv_F \ll |\omega + i\gamma|$  получаем

$$\varepsilon_e(k, \omega) = \\ = \varepsilon_\infty \left\{ 1 - \frac{\omega_{pe}^2}{\omega(\omega + i\gamma)} \left[ 1 + \frac{3}{5} \left( \frac{kv_F}{\omega + i\gamma} \right)^2 \right] \right\}. \quad (6)$$

Здесь не зависящее от волнового вектора слагаемое непосредственно связано с друдевской проводимостью, а плазменная частота электронов дается интегралом по ферми-поверхности:

$$\omega_{pe}^2 = \frac{e^2}{3\pi^2\varepsilon_\infty} \int v dS_F.$$

Предельные выражения (4)–(6) справедливы для любой формы электронного спектра — лишь константа  $v_F$  имеет различные значения: в (4) это средняя фермиевская скорость на пояске  $\mathbf{v} \perp \mathbf{k}$ , в (5) — скорость в опорной точке  $\mathbf{v} \parallel \mathbf{k}$ , в (6) — некая средняя скорость на всей ферми-поверхности. Мы не останавливаемся на случаях, когда у ферми-поверхности имеются существенно плоские или цилиндрические участки.

### 3. ЧАСТОТА И ЗАТУХАНИЕ ФОНОН-ПЛАЗМОННЫХ МОД

Частота продольных фонон-плазмонных мод определяется уравнением  $\varepsilon(k, \omega) = 0$ . В отсутствие всякого затухания ( $\gamma = \Gamma^{nat} = 0$ ) и при  $k = 0$  с помощью (1) и (6) получаем биквадратичное уравнение, решение которого дает частоты связанных фонон-плазмонных мод:

$$\omega_\pm^2 = \frac{1}{2} (\omega_{pe}^2 + \omega_{LO}^2) \pm \\ \pm \frac{1}{2} [(\omega_{pe}^2 + \omega_{LO}^2)^2 - 4\omega_{pe}^2\omega_{TO}^2]^{1/2}. \quad (7)$$

Эти частоты (отнесенные к  $\omega_{TO}$ ) как функции электронной концентрации (а именно,  $\omega_{pe}/\omega_{TO}$ ) показаны на рис. 1a. Верхняя ветвь (штрихпунктирная кривая) начинается с частоты продольных фононов  $\omega_{LO}$  и выходит на плазменную частоту электронов  $\omega_{pe}$ . Нижняя ветвь (сплошная кривая) ведет себя вначале как  $\omega_{pe}\omega_{TO}/\omega_{LO}$ , а затем выходит на частоту поперечных фононов  $\omega_{TO}$ . Другими словами, наблюдая в оптической области фононную моду и «добавляя» электроны, мы перешли бы от частоты  $\omega_{LO}$

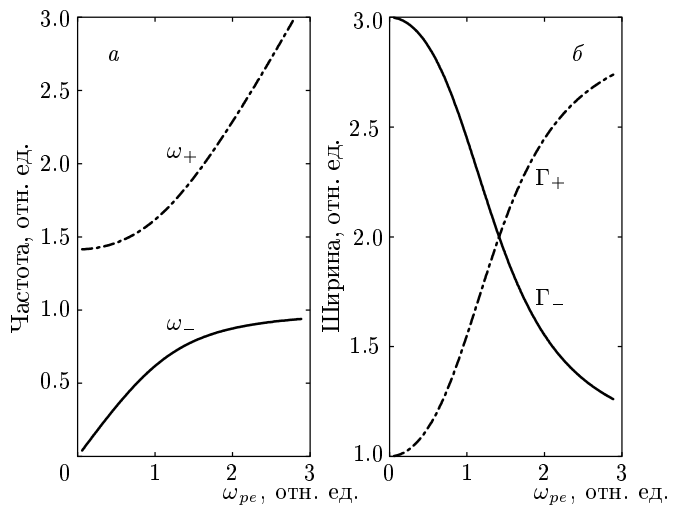


Рис. 1. Зависимость при  $k = 0$  частоты (а, в единицах  $\omega_{TO}$ ) и затухания (б, в единицах  $\Gamma^{nat}$ ) фонон-плазмонных мод от плазменной частоты электронов (в единицах  $\omega_{TO}$ ), т. е. от концентрации свободных электронов. Выбраны типичные отношения частот,  $\omega_{LO}/\omega_{TO} = \sqrt{2}$ , и электронного затухания к фононному,  $\gamma/\Gamma^{nat} = 3$

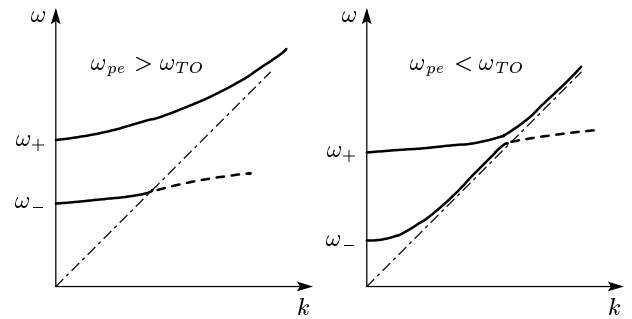


Рис. 2. Дисперсия фонон-плазмонных мод для «металлической»,  $\omega_{pe} > \omega_{TO}$  (а), и полупроводниковой,  $\omega_{pe} < \omega_{TO}$  (б), концентраций носителей. Штрихпунктирные прямые отделяют область  $k v_F > \omega$ , где существует затухание Ландау, и штриховые кривые в этой области изображают затухающие решения

к  $\omega_{TO}$  — таков результат электронной экранировки продольного фона.

Поскольку в оптической области величины  $\gamma$  и  $\Gamma^{nat}$  малы по сравнению с  $\omega_O$ , частоты фонон-плазмонных мод при наличии затухания можно записать в виде  $\omega = \omega_\pm - i\Gamma_\pm/2$ . Для соответствующих ширин  $\Gamma_\pm$  с помощью (1), (7) при  $k = 0$  находим

$$\Gamma_+ = [\gamma(\omega_+^2 - \omega_{LO}^2) + \Gamma^{nat}(\omega_+^2 - \omega_{pe}^2)]/(\omega_+^2 - \omega_-^2),$$

$$\Gamma_- = [\gamma(\omega_-^2 - \omega_{LO}^2) + \Gamma^{nat}(\omega_-^2 - \omega_{pe}^2)]/(\omega_-^2 - \omega_+^2).$$

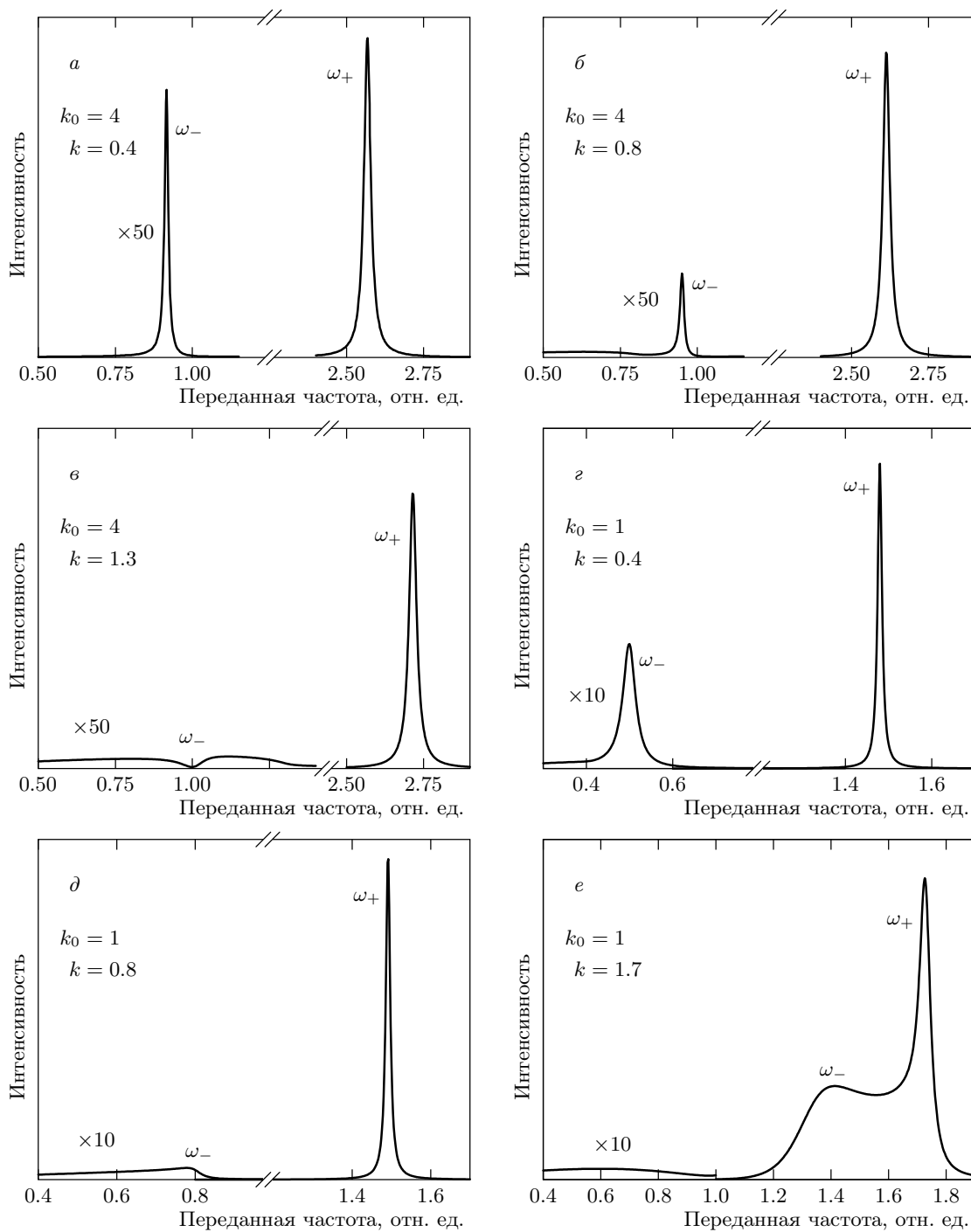


Рис. 3. Интенсивность неупругого рассеяния света,  $-\text{Im}[1/\varepsilon(k, \omega)]$ , как функция  $\omega$  при фиксированных, указанных на рисунках значениях волнового вектора  $k$  и обратного радиуса экранировки  $k_0$  (в единицах  $\omega_{TO}/v_F$ ). Выбраны значения параметров  $\omega_{LO}/\omega_{TO} = \sqrt{2}$ ,  $\Gamma^{nat}/\omega_{TO} = 10^{-2}$ ,  $\gamma/\Gamma^{nat} = 3$

Эти зависимости показаны на рис. 1б, причем выбрано соотношение между частотами столкновений  $\gamma/\Gamma^{nat} = 3$ . Понятно, что концентрационные зависимости ширин отражают тот факт, что при низкой

электронной концентрации нижняя мода (сплошная кривая) является в основном плазменным электронным колебанием, а верхняя (штрихпунктир) — продольным фононным. При высокой концентрации ха-

рактер колебаний меняется на обратный.

С ростом волнового вектора  $k$  верхняя фонон-плазмонная мода (см. рис. 2 и выражение (5)) выходит асимптотически на прямую  $\omega = kv_F$ :

$$\omega_+ = kv_F \left\{ 1 + 2 \exp \left[ -2 - \frac{k^2(k^2 v_F^2 - \omega_{LO}^2)}{k_0^2(k^2 v_F^2 - \omega_{TO}^2)} \right] \right\} - i\gamma.$$

Условием применимости этого выражения является малость стоящей здесь экспоненты. Нижняя мода попадает в область электронных возбуждений,  $kv_F > \omega$ , благодаря чему возникает затухание Ландау (4):

$$\omega_-^2 = \frac{k^2 \omega_{LO}^2 + k_0^2 \omega_{TO}^2}{k^2 + k_0^2} - i \frac{\pi \omega k k_0^2 \omega_{pi}^2}{2v_F(k^2 + k_0^2)^2}, \quad (8)$$

где плазменная частота ионов  $\omega_{pi}^2 = \omega_{LO}^2 - \omega_{TO}^2$ . В мнимую часть выражения (8) следует подставить вместо  $\omega$  значение  $\omega_-$ , определяемое вещественной частью. Эти участки спектра показаны на рис. 2 штриховыми кривыми. Обращаем внимание на то, что при условиях  $k_0 v_F > \omega$  и  $k_0 < p_F$  возникает достаточно большая дисперсия оптического фона: с ростом волнового вектора при  $k \approx k_0$  частота меняется от значения  $\omega_{TO}$  до  $\omega_{LO}$ . Это опять-таки эффект электронной экранировки фононных колебаний. Для его наблюдения необходимо, чтобы затухание Ландау было достаточно малым, т. е. требуется выполнение сильного условия  $k_0 v_F \gg \omega$ .

В общем случае частота и затухание фонон-плазмонных мод находятся численным решением уравнения  $\varepsilon(k, \omega) = 0$ . Однако простой физический смысл имеет функция  $-\text{Im}[1/\varepsilon(k, \omega)]$ , поскольку ей пропорционально сечение неупругого рассеяния света (рамановское или рентгеновское) на электрон-фононной системе. Построенный с помощью уравнений (1)–(3) график этой функции изображен на рис. 3а–в в зависимости от переданной частоты  $\omega$  (при различных значениях переданного импульса  $k$ ) для случаев, близких к «металлическим» плотностям электронов ( $\omega_{pe} > \omega_{TO}$ ). В случае квадратичного электронного спектра плазменная частота выражается через радиус экранирования соотношением  $\omega_{pe} = k_0 v_F / \sqrt{3}$ , а пик при  $\omega/\omega_{TO} = 2.6\text{--}2.7$  соответствует возбуждению плазмона. При значениях  $\omega/\omega_{TO}$  несколько меньших единицы виден пик, соответствующий возбуждению фонона (см. рис. 1а и формулу (7)), частота которого уменьшилась по сравнению с  $\omega_{LO}$  вследствие экранировки. При достаточно малых  $k$  (рис. 3а) интенсивность этого пика в 50 раз меньше интенсивности рассеяния с возбуждением плазмона. По мере роста  $k$  к фононному пику со стороны малых частот (рис. 3б)

приближается широкий континуум  $kv_F > \omega$ , где  $u \varepsilon(k, \omega)$  имеется значительная мнимая часть (4) за счет электрон-дырочных возбуждений. Интенсивность фононного пика уменьшается, форма его становится асимметричной, приобретая вид резонанса Фано. Наконец, фононный пик размывается (рис. 3в и выражение (8)), поскольку он оказывается погруженным в электронный континуум.

Относительно малым электронным плотностям ( $\omega_{pe} < \omega_{TO}$ ) соответствуют рис. 3г–е. Теперь возбуждению продольного фона отвечает пик примерно при  $\omega/\omega_{TO} = 1.5$ , что дает  $\omega = \omega_{LO}$  при нашем выборе отношения  $\omega_{LO}/\omega_{TO} = \sqrt{2}$ . При более низких частотах имеются более широкий (поскольку мы положили  $\gamma/\Gamma^{nat} = 3$ ) плазмонный пик (рис. 3) и широкий электронный континуум (рис. 3д, е) при  $\omega < kv_F$ . На рис. 3д плазмонный пик оказывается сильно размытым из-за близкого электронного континуума, а рис. 3е соответствует случаю достаточно больших  $k$  (см. рис. 1б), когда правый, более острый, пик представляет собой скорее плазмонное колебание, а левый, размытый, максимум — фонон, погруженный в электронный континуум.

#### 4. ЗАКЛЮЧЕНИЕ

Сформулируем основной вывод работы. При повышении концентрации носителей заряда увеличивается ширина продольных оптических фонаров в основном благодаря тому, что их частота с ростом волнового вектора приближается к области  $kv_F > \omega$ , где возможно возбуждение электрон-дырочных пар. Детальное экспериментальное исследование сдвига и затухания продольных фононных мод под влиянием изменяющейся концентрации носителей заряда в металлических и дипированных полупроводниковых материалах позволило бы ответить на вопрос, в какой мере можно ограничиваться электродинамическим анализом задачи и какую роль играет здесь прямое электрон-фононное взаимодействие.

Работа выполнена при поддержке РФФИ (грант № 01-02-16211).

#### ЛИТЕРАТУРА

1. А. Б. Мигдал, ЖЭТФ **34**, 1438 (1958).
2. М. Борн, Х. Кунь, *Динамическая теория кристаллических решеток*, Изд-во иностр. лит., Москва (1958), гл. 4.

3. Е. Г. Бровман, Ю. Каган, ЖЭТФ **52**, 557 (1967).
4. A. S. Alexandrov and J. R. Schrieffer, Phys. Rev. B **56**, 13731 (1997).
5. А. А. Абрикосов, Л. П. Горьков, И. Е. Дзялошинский, *Методы квантовой теории поля в статистической физике*, Добросвет, Москва (1998), с. 277.
6. M. Reizer, Phys. Rev. B **61**, 40 (2000).
7. В. Л. Гуревич, А. И. Ларкин, Ю. А. Фирсов, ФТТ **4**, 185 (1962).
8. Л. А. Фальковский, ЖЭТФ **122**, 411 (2002).
9. M. d'Adusto, P. K. Mang, P. Giura, A. Shukla, P. Chigna, A. Mirone, M. Braden, M. Greven, M. Krish, and F. Sette, E-print archives, cond-mat/0201501.